

01

## Изменение зависимости длительности переходных процессов от начальных условий в системах с дискретным временем

© А.А. Короновский, А.Е. Храмов

Саратовский государственный университет им. Н.Г. Чернышевского,  
ГосУНЦ „Колледж“  
E-mail: alkor@cas.ssu.runnet.ru

Поступило в Редакцию 11 февраля 2002 г.

Рассматривается зависимость длительности переходных процессов от начальных условий в одномерной и двумерной динамических системах с дискретным временем — логистическом отображении и отображении Эно. Показано, что вид зависимости длительности переходных процессов от начальных условий для цикла периода один определяется мультипликатором(ами) устойчивой неподвижной точки. При изменении управляющих параметров в рамках одного динамического режима происходит бифуркация, приводящая к качественному изменению вида зависимости длительности переходных процессов от начальных условий.

Исследование нелинейных динамических систем (как с дискретным, так и с непрерывным временем) привлекает в последние десятилетия неослабевающее внимание исследователей. Как правило, в центре внимания находятся установившиеся режимы, а также то, каким образом один динамический режим сменяется другим при изменении управляющих параметров. В то же самое время целый пласт явлений, связанных с переходными процессами, как правило, оказывается вне поля зрения исследователей, несмотря на то что переходные процессы несут информацию о системе в целом и аттракторах, реализующихся в фазовом пространстве [1,2].

Ранее в работе [3] были изучены переходные процессы в одномерной динамической системе с дискретным временем — логистическом отображении

$$x_{n+1} = f(x_n) = \lambda x_n(1 - x_n). \quad (1)$$

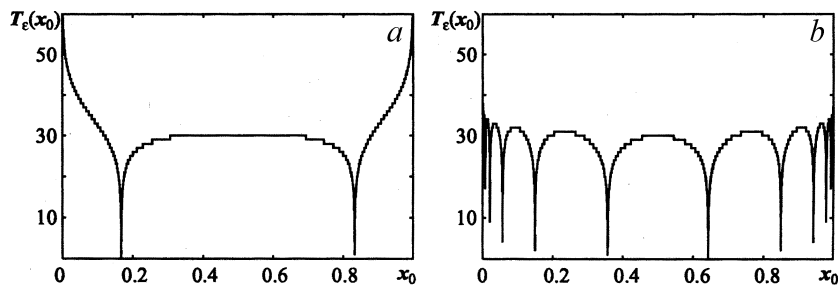
В частности, было показано, что для логистического отображения зависимость длительности переходных процессов от начальных условий  $T_\varepsilon(x_0)$  претерпевает качественные изменения при варьировании управляющего параметра  $\lambda$  и смене одного динамического режима другим. Было также показано, что зависимость длительности переходных процессов от начальных условий подчиняется определенным скейлинговым закономерностям.

В настоящей работе рассматриваются механизмы, приводящие к качественному изменению вида зависимости длительности переходных процессов от начальных условий в случае, когда управляющие параметры системы меняются в рамках одного динамического режима. В качестве исследуемых систем выбраны логистическое отображение (1), являющееся эталонным объектом нелинейной динамики, а также отображение Эно [4,5]:

$$\begin{aligned}x_{n+1} &= \lambda x_n(1 - x_n) + by_n, \\y_{n+1} &= x_n,\end{aligned}\tag{2}$$

которое, как известно, при  $b = 0$  переходит в логистическое отображение. Режимом, при котором проводилось исследование переходных процессов в (1) и (2), являлся наиболее простой — устойчивый цикл периода один. Иными словами, управляющие параметры варьировались таким образом, что все наблюдения проводились в рамках этого динамического режима, когда поведению системы (2) соответствовала неподвижная устойчивая точка  $(x^0, y^0)$ ,  $x^0 = y^0 = (\lambda + b - 1)/\lambda$ , а логистическому отображению — неподвижная устойчивая точка  $x^0 = (\lambda - 1)/\lambda$  соответственно.

Зависимости длительности переходного процесса от начальных условий  $T_\varepsilon(x_0)$  в логистическом отображении (1) и  $T_\varepsilon(x_0, y_0)$  в отображении Эно (2) при заданных начальных условиях с наперед заданной точностью  $\varepsilon$  определялась так же, как это делалось в работе [3]: при фиксированных значениях управляющих параметров определялся аттрактор, реализующийся в системе, для чего произвольная точка начальных условий итерировалась  $N = 6500$  раз, после чего полагалось, что изображающая точка „вышла“ на аттрактор. Анализируя полученную последовательность  $\{x_n\}_{n=0}^N$  для логистического отображения и  $\{(x_n, y_n)\}_{n=0}^N$  для отображения Эно соответственно), начиная с  $n = N - 1, N - 2, \dots$ , определялся период режима (неподвижная



**Рис. 1.** Зависимость длительности переходного процесса от начальных условий  $T_\varepsilon(x_0)$  для цикла периода один логистического отображения:  $a$  —  $\lambda = 1.2$ ,  $b$  —  $\lambda = 2.8$ .

устойчивая точка, 2-цикл, 4-цикл и т.д.). Затем, последовательно перебирая все возможные начальные условия с некоторым шагом разбиения, для каждого начального условия определялся интервал дискретного времени, необходимый для того, чтобы изображающая точка „вышла“ на найденный ранее аттрактор с точностью  $\varepsilon$ .

Как следует из проведенных исследований, зависимость длительности переходного процесса от начальных условий  $T_\varepsilon(x_0)$  для логистического отображения претерпевает качественные изменения при варьировании управляющего параметра  $\lambda$  даже в пределах одного динамического режима. На рис. 1 приведена зависимость длительности переходного процесса  $T_\varepsilon(x_0)$  для двух значений управляющего параметра  $\lambda$ :  $a$  соответствует значению управляющего параметра  $\lambda = 1.2$ ,  $b$  —  $\lambda = 2.8$  соответственно. Поведению системы при этом и в том, и в другом случае соответствует неподвижная устойчивая точка  $x_0 = (\lambda - 1)/\lambda$ . Изменение вида зависимости  $T_\varepsilon(x_0)$  происходит, когда управляющий параметр  $\lambda$  пересекает точку  $\lambda_m = 2$ . В этот момент цикл периода один обладает максимальной устойчивостью, его мультипликатор  $\mu$  равен нулю. При значениях  $\lambda < \lambda_m$  зависимость  $T_\varepsilon(x_0)$  имеет два локальных минимума, а при  $\lambda > \lambda_m$  число таких локальных минимумов оказывается бесконечным (рис. 1).

Механизм подобного усложнения вида зависимости длительности переходного процесса от начальных условий связан с появлением двух последовательностей точек  $\{x_i^{(0)}\}_{i=1}^\infty$  и  $\{x_i^{(1)}\}_{i=1}^\infty$ , которые за конечное

число итераций отображаются в неподвижную устойчивую точку  $x^0$ :

$$x^0 = f(x_1^{(0)}) = f(f(x_2^{(0)})) = f(f(x_2^{(1)})) = \dots = f^{(n)}(x_n^{(0)}) = f^{(n)}(x_n^{(1)}). \quad (3)$$

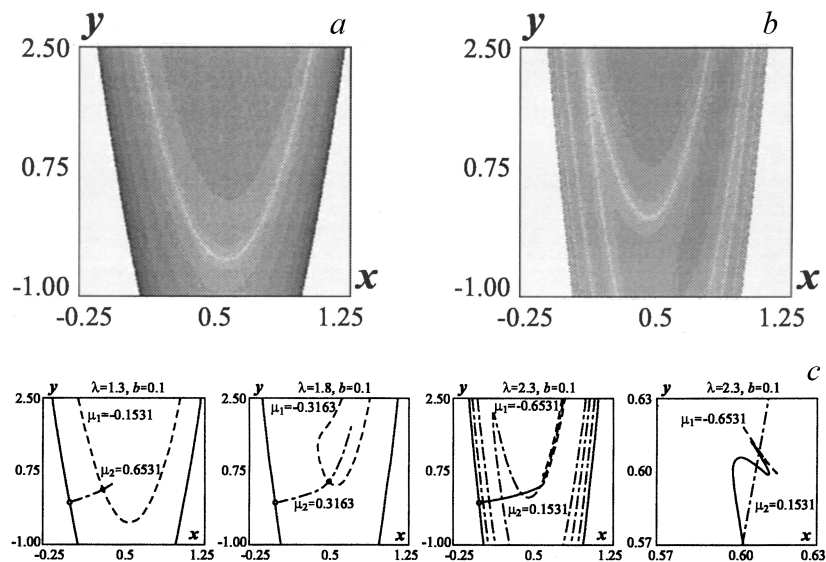
Эти последовательности сходятся к точкам границ бассейна притяжения аттрактора  $x_{gr0} = 0$  и  $x_{gr1} = 1$  соответственно, причем каждой точке последовательности соответствует локальный минимум зависимости длительности переходного процесса от начальных условий (см. также [3]). Эти последовательности возникают при  $\lambda > \lambda_m$  и обусловлены необратимостью отображения (1).

Как уже говорилось выше, отображение Эно (2) при  $b = 0$  переходит в логистическое (1), а следовательно, в отображении Эно при  $b = 0$  и  $\lambda = 1 \div 3$  на базе устойчивого цикла периода один должно наблюдаться явление усложнения зависимости длительности переходных процессов от начальных условий  $T_\varepsilon(x_0, y_0)$ , характерное для логистического отображения. Соответствующая зависимость  $T_\varepsilon(x_0)$  для логистического отображения в этом случае просто транслируется вдоль оси  $y$ , и локальные минимумы зависимости длительности переходных процессов от начальных условий представляют собой линии, параллельные оси  $y$  на плоскости начальных условий  $(x_0, y_0)$ . Это явление наблюдается в отображении Эно и при значениях управляющего параметра  $b$ , близких (но не равных) нулю (рис. 2). За счет появления в (2) слагаемого  $by_n$  линии, соответствующие минимумам зависимости  $T_\varepsilon(x_0, y_0)$ , перестают быть параллельными.

В то же самое время объяснить механизм усложнения зависимости длительности переходных процессов от времени  $T_\varepsilon(x_0, y_0)$  так, как это было сделано для логистического отображения, не удастся. Это связано, во-первых, с тем, что при  $b \neq 0$  отображение Эно является обратимым, а следовательно, не существует таких точек, которые бы за конечное число итераций отображались бы в неподвижную точку  $(x^0, y^0)$ .<sup>1</sup> Между тем именно эти точки и обуславливали в логистическом отображении появление бесконечного числа локальных минимумов зависимости  $T_\varepsilon(x_0)$ .

Во-вторых, в отображении Эно при  $b \neq 0$  мультипликаторы  $\mu_{1,2}$  неподвижной точки  $(x^0, y^0)$  не обращаются в ноль и соответственно в отображении Эно (при  $b \neq 0$ ) не существует циклов максимальной устойчивости. Между тем именно с циклом максимальной

<sup>1</sup> Естественно, кроме самой этой точки  $(x^0, y^0)$ .



**Рис. 2.** Проекция поверхности зависимости длительности переходных процессов от начальных условий  $T_\varepsilon(x_0, y_0)$  на плоскость возможных состояний  $(x, y)$  для системы Эно. Градациями серого показана длительность переходных процессов: белый цвет соответствует нулевой длительности переходного процесса, черный — пятидесяти единицам дискретного времени. Светло-серый цвет точек вне бассейна притяжения аттрактора  $(x^0, y^0)$  соответствует начальным условиям, имеющим аттрактор на бесконечности: *a* — проекция зависимости  $T_\varepsilon(x_0, y_0)$  при  $\lambda = 1.3, b = 0.1$ . *b* — аналогичная проекция для  $\lambda = 2.3, b = 0.1$ . *c* — схематичное изображение устойчивых многообразий точки аттрактора  $(x^0, y^0)$  и устойчивого и неустойчивого многообразий неустойчивой точки  $(0, 0)$  при фиксированном значении управляющего параметра  $b = 0.1$  и различных значениях параметра  $\lambda$ . Устойчивое многообразие точки  $(x^0, y^0)$ , характеризуемое отрицательным мультипликатором  $\mu_1$ , показано пунктиром, второе многообразие, соответствующее положительному мультипликатору  $\mu_2$  — штрихпунктиром. Многообразия неустойчивой точки  $(0, 0)$  показаны сплошными линиями. Для удобства на рисунках приведены значения мультипликаторов  $\mu_{1,2}$  точки аттрактора  $(x^0, y^0)$ . Последний рисунок *c* является увеличенным фрагментом предыдущего, поясняющим поведение неустойчивого многообразия точки  $(0, 0)$  в окрестности точки аттрактора  $(x^0, y^0)$ .

устойчивости в логистическом отображении связан момент бифуркации зависимости длительности переходных процессов от времени  $T_\varepsilon(x_0)$ . Следовательно, для отображения Эно возникает задача о нахождении на плоскости управляющих параметров  $(\lambda, b)$  бифуркационной линии, пересечение которой приводит к качественному усложнению вида зависимости  $T_\varepsilon(x_0, y_0)$ .

Сопоставление проекции поверхности  $T_\varepsilon(x_0, y_0)$  на плоскость начальных условий  $(x_0, y_0)$  с расположением устойчивых многообразий устойчивой неподвижной точки  $(x^0, y^0)$  (многообразия играют важную роль, например, при формировании границ бассейнов притяжения аттракторов [6,7]) показывает, что точки начальных условий, в которых длительность переходных процессов принимает минимальные значения, совпадают с точками одного из этих многообразий. Устойчивая неподвижная точка  $(x^0, y^0)$  характеризуется мультипликаторами  $\mu_1 = (2 - 2b - \lambda - \sqrt{4b + (-2 + 2b + \lambda)^2})/2$  и  $\mu_2 = (2 - 2b - \lambda + \sqrt{4b + (-2 + 2b + \lambda)^2})/2$ , а также собственными векторами  $\mathbf{e}_1 = ((2 - 2b - \lambda - \sqrt{4b + (-2 + 2b + \lambda)^2})/2, 1)$  и  $\mathbf{e}_2 = ((2 - 2b - \lambda + \sqrt{4b + (-2 + 2b + \lambda)^2})/2, 1)$  соответственно.

Наименьшие значения зависимости  $T_\varepsilon(x_0, y_0)$  располагаются вдоль того многообразия точки  $(x^0, y^0)$ , которое соответствует наименьшему по модулю значению мультипликатора. Именно вдоль этого многообразия осуществляется наиболее быстрое приближение изображающей точки к аттрактору. При фиксированном значении управляющего параметра  $b = 0.1$  и с изменением управляющего параметра  $\lambda$  от 0.9 до 2.7 (при этом поведению системы соответствует устойчивый цикл периода один) происходит постепенное уменьшение модуля положительного мультипликатора  $\mu_2$  и одновременное увеличение модуля отрицательного мультипликатора  $\mu_1$ . При  $b = 0.1$  и  $\lambda < \lambda_{eq} = 1.8$  имеет место соотношение  $|\mu_1| < |\mu_2|$ , и соответственно минимумы зависимости длительности переходного процесса от начальных условий (светлые линии на рис. 2, а) соответствуют многообразию, характеризующемуся отрицательным мультипликатором  $\mu_1$ . При  $\lambda = \lambda_{eq} = 1.8$ , когда  $|\mu_1| = |\mu_2|$ , оба многообразия становятся „равноправными“, а при  $\lambda > \lambda_{eq} = 1.8$  величина  $|\mu_2|$  становится меньше, чем  $|\mu_1|$ , многообразия меняются ролями, и светлые линии минимальных значений переходных процессов располагаются уже вдоль многообразия, характеризующегося положительным мультипликатором  $\mu_2$  (рис. 2, б).

Таким образом, при  $b = 0.1$  и  $\lambda = 1.8$  происходит „обмен ролями“ устойчивых многообразий неподвижной устойчивой точки  $(x^0, y^0)$ . Однако при этих же значениях управляющих параметров имеет место еще одно важное событие, в котором принимает участие неустойчивое многообразие неустойчивой точки  $(0, 0)$  (устойчивое многообразие этой точки, характеризующееся мультипликатором  $\mu_1^{уст} = (\lambda - \sqrt{4b + \lambda^2})/2$  и собственным вектором  $\mathbf{e}_1 = ((\lambda - \sqrt{4b + \lambda^2})/2, 1)$  образует границу бассейна притяжения аттрактора  $(x^0, y^0)$  системы Эно). Это неустойчивое многообразие характеризуется мультипликатором  $\mu_2^{уст} = (\lambda + \sqrt{4b + \lambda^2})/2$  и собственным вектором  $\mathbf{e}_2 = ((\lambda + \sqrt{4b + \lambda^2})/2, 1)$ . Поскольку любая точка, лежащая в малой окрестности неустойчивой точки  $(0, 0)$  и принадлежащая бассейну притяжения аттрактора  $(x^0, y^0)$ , должна быть с течением времени „притянута“ к аттрактору, то неустойчивое многообразие неустойчивой точки  $(0, 0)$  должно заканчиваться в точке  $(x^0, y^0)$  (или, по крайней мере, проходить через нее).

При  $\lambda < \lambda_{eq} = 1.8$ , как уже говорилось выше, доминирующую роль играет многообразие, которому соответствует отрицательный мультипликатор  $\mu_1$ . Именно вдоль этого многообразия осуществляется наиболее быстрая сходимость к точке аттрактора. Поэтому неустойчивое многообразие точки  $(0, 0)$  стремится к точке аттрактора по направлению второго многообразия точки  $(x^0, y^0)$ , характеризуемого мультипликатором  $\mu_2$  (рис. 2, с). После того как значение управляющего параметра  $\lambda$  превосходит  $\lambda_{eq}$ , поведение неустойчивого многообразия точки  $(0, 0)$  в окрестности точки  $(x^0, y^0)$  обуславливается многообразием с отрицательным мультипликатором  $\mu_1$ . В результате неустойчивое многообразие точки  $(0, 0)$  бесконечное число раз пересекает устойчивое многообразие точки  $(x^0, y^0)$ , характеризующееся положительным мультипликатором  $\mu_2$ . Вследствие этого устойчивое многообразие точки  $(x^0, y^0)$  также бесконечное число раз пересекает неустойчивое многообразие точки  $(0, 0)$  в ее окрестности, что приводит к появлению бесконечного числа „впадин“ на поверхности зависимости  $T_\varepsilon(x_0, y_0)$ .

Таким образом, в системе Эно при выполнении условия  $\mu_1 = -\mu_2$  ( $\mu_{1,2}$  — действительные) происходит бифуркация расщепления многообразий, приводящая к качественной трансформации вида зависимости длительности переходных процессов от начальных условий.

Работа выполнена при поддержке РФФИ (гранты 01–02–17392 и 00–15–96673), а также научно-образовательного центра „Нелинейная динамика и биофизика“ при Саратовском государственном университете им. Н.Г. Чернышевского (грант REC-006 of U.S. Civilian Research and Development Foundation for the Independent States of the Former Soviet Union (CRDF)).

## Список литературы

- [1] *Кальянов Э.В.* // Письма в ЖТФ. 2000. Т. 26. В. 15. С. 26–31.
- [2] *Bezruchko V.P., Dikanov T.V., Smirnov D.A.* // Phys. Rev. 2001. E 64. P. 036210.
- [3] *Короновский А.А., Трубецков Д.И., Храмов А.Е., Храмова А.Е.* // Докл. АН. 2002 (в печати).
- [4] *Хенон М.* // Странные аттракторы / Под ред. Я.Г. Синая, Л.П. Шильникова. М.: Мир, 1981. С. 152.
- [5] *Kuznetsov A.P., Kuznetsov S.P., Sataev I.R.* // Phys. Rev. Lett. 1994. V. A164. P. 413.
- [6] *Grebogi C., Ott E.* // Phys. Rev. Lett. 1983. V. 50. N 13. P. 935–938.
- [7] *Grebogi C., Ott E., Yorke J.A.* // Phys. Rev. Lett. 1986. V. 56. N 10. P. 1011–1014.